



نفوذ پرتابه مدل‌سازی عددی صلب سرعت بالا در صفحه FML با رویه آلومینیومی و هسته کامپوزیتی با استفاده از نرم‌افزار آباکوس

سیاوش احمدی^{۱*}، مهران فخرایی لاهیجی^۲

۱- دانشجوی کارشناسی ارشد، مهندسی مکانیک، دانشگاه آزاد اسلامی واحد لاهیجان

۲- استادیار گروه مکانیک دانشگاه آزاد اسلامی واحد لاهیجان

*Siavash83@yahoo.com

ارسال: اسفند ۱۳۹۵ پذیرش: اردیبهشت ۱۳۹۶

خلاصه

در ابتدای امر فلزاتی مانند آلومینیوم و فولاد زمینه اصلی تحقیقات اصلی دانشمندان فعال در حوزه برخورد را شامل می‌شد چراکه این دسته از مواد استفاده‌ای گسترده‌ای را در صنایع نظامی دارا می‌باشد اما در سال‌های اخیر با ظهور دسته‌ی جدیدی از مواد در دنیا صنعت علاوه بر فلزاتی مانند آلومینیوم این دسته از مواد زمینه اصلی تحقیقات دانشمندان را شامل می‌شود چرا اینکه کامپوزیت‌ها موادی هستند که دارای نسبت وزن به استحکام بالایی هستند. اما بزرگترین نقطه ضعف کامپوزیت‌ها آسیب پذیری آن‌ها در مقابل ضربه است چراکه این مواد به راحتی در برابر ضربه خاصیت خود را از دست می‌دهد و دچار شکست می‌شوند. یکی از راهکارهایی که دانشمندان برای برطرف کردن این نقصیه بزرگ ابداع کردن استفاده کامپوزیت‌ها به همراه فلزات سبکی مانند آلومینیوم است و در این قسمت پنل‌های ساندویچی پا در عرصه صنعت به خصوص صنایع هوایی و دریایی نهاد لازم به ذکر است پنهانی ساندویچی عمده‌تا از هسته کامپوزیتی تشکیل شده است. مدل‌سازی‌های انجام شده قبلی اثر برخورد پرتابه به صفحه آلومینیوم می‌باشد. مدل‌سازی تشریح شده در پژوهه حال حاضر استفاده از دو نوع پرتابه ogival و orbicular بر صفحه FML می‌باشد و همچنین اثرات تغییر سرعت و جرم بر سرعت خروجی و انرژی جنبشی و انرژی درونی مورد بررسی قرار گرفته است. در نهایت تغییرات بدست آمده در قالب نمودار برای درک بیشتر ترسیم می‌گردد.

کلمات کلیدی: کامپوزیت، فایبر، مدل عددی، اجزای محدود.

۱. مقدمه

یکی از شاخه‌های علوم مهندسی بررسی برخورد دو جسم در یکدیگر است که معمولاً در علوم نظامی مهمترین کاربرد آن برخورد پرتابه‌ها مانند گلوله‌های مختلف به سمت اهداف موردنظر مانند ادوات زرهی می‌باشد. برای اولین بار توسط تیلور، در سال ۱۹۴۸ مدلی تحلیلی برای بررسی فرآیند نفوذ عمودی پرتابه‌های تخت با فرض غیر قابل تغییر شکل بودن آن در هدف‌های نازک ارائه شد که در آن با استفاده از معادله تعادل انرژی، سرعت پرتابه قبل و بعد از برخورد به هدف تعیین شد [۱].

امروزه تحقیقات زیادی در این مورد صورت می‌گیرد که از مباحث عمده آنها بررسی پدیده ضربه، بررسی پدیده انفجار، بررسی مکانیک نفوذ و تداخل، بررسی معیارهای شکست و تسلیم پرتا به و هدف و چگونگی مقاوم سازی آنها و بررسی حداقل شرایط لازم مانند حداقل سرعت اولیه پرتا به برای تسلیم هدف در مراجع [۵-۲] می‌توان برخی مطالعات صورت گرفته در مورد پدیده نفوذ پرتا به در یک ورق را مشاهده کرد. در این مقاله از مدل آسیب جانسون کوک استفاده شده است که این مدل از جمله پر کاربردترین مدل‌هایی است که در اغلب نرم افزارها برای شیوه سازی پدیده هایی با نرخ کرنش بالا به کار گرفته می‌شود که توسط جانسون و کوک در سال ۱۹۸۳ ارائه شده است [۶]. مور برخی مدل‌های مادی دیگر را می‌توان در مقالات ارائه شده توسط لیانگ و خان [۷] و میز و همکارانش [۸] ملاحظه کرد. خدا رحیمی و همکارانش در سال ۲۰۰۶، روش تحلیلی ارائه نمودند که در آن فرآیند نفوذ پرتا به در یک هدف نیمه بینهایت، به صورت گام به گام، با استفاده از انتشار امواج تنش پلاستیک موردن بررسی قرار گرفت. در این روش با فرض صلب بودن هدف میزان تغییر شکل پرتا به را محاسبه نموده و سپس در گام نفوذ، پرتا به به صورت صلب فرض گردیده و میزان نفوذ پرتا به به دست آمده است. این مراحل به صورت متواالی تازمانیکه پرتا به متوقف گردد، محاسبه شده است [۹]. گوپتا و همکارانش در سال ۲۰۰۷، تحقیقات تجربی و عددی ارائه نمودند که فرآیند نفوذ توسط پرتا به‌های مخروطی نوک تیز، سرتخت و نیم کروی در اثر برخورد به اهداف آلومینیومی باضخامت متفاوت را موردن بررسی قراردادند. سپس در بخش حل عددی فرآیند نفوذ که با کد المان محدود آباکوس مورد تجزیه و تحلیل قرار گرفت. در این کار، نتایج حاصل از تجزیه تحلیل عددی در مقایسه با تحقیقات تجربی همخوانی مناسبی دارند [۱۰].

در سال ۲۰۰۸ لوپز پونته و همکارانش طی یک روش عددی به بررسی لمینیتها کریں اپوکسی پرداختند. آزمایشگران از یک تنگ گازی بمنظور بررسی پرسه ضربه استفاده کردند. سپس با استفاده از یک مدل عددی المان محدود تاثیر سرعت ضربه و زاویه برخورد در زوایای مختلف علی الخصوص در زوایای صفر و ۴۵ درجه مورد مطالعه قرار گرفت [۱۱].

لوپز-پونته و همکارانش در سال ۲۰۰۹ مدلی تحلیلی ارائه نمودند که در آن به پیش بینی سرعت باقیمانده در یک پرتا به فولادی استوانه ای پرداخته می‌شود. مدل فوق بر اساس بالانس انرژی طراحی شده که در آن انرژی جنبشی پرتا به توسط لمینیت جذب می‌شود. جذب انرژی جنبشی بصورت سه مکانیزم انتقال مومتنوم خطی، شکست فیبر، و خرد شدن لمینیت تحلیل می‌شود. مکانیزم خرد شدن با استفاده از پانچ‌های شبه استاتیکی ارزیابی می‌گردد و در نهایت آزمایشات ضربه با سرعت بالا بمنظور معتبر سازی فرضیه انجام می‌ذیرد [۱۲].

واراس و همکاران وی در سال ۲۰۱۲ به بررسی مدل عددی پرداختند که به پیش بینی رفتار یک لمینیت تحت ضربات با سرعتهای بالا می‌پرداخت. با استفاده از کدهای FE^1 به بررسی مکانیزم‌های مختلف شکست پرداخته می‌شود و نهایتاً جهت معتبر سازی مدل، تست آزمایشگاهی در محدوده سرعتی بین ۱۰۰ تا ۴۰۰ متر انجام گرفته و سرعت پسماند پرتا به و ناحیه خسارت دیده در لمینیتها با نتایج عددی مقایسه می‌شود [۱۳].

در سال ۲۰۱۳ و طی مقاله‌ای بینگ وانگ و همکارانش جذب انرژی در یک لمینیت CFRP^۲ را که تحت ضربه با سرعت بالا قرار گرفت را با روشهای عددی و آزمایشگاهی بررسی نمودند. آزمایشات با یک تنگ گازی دو مرحله‌ای که پرسه برخورد را هدایت می‌کرد انجام گرفت. راندمان جذب انرژی یا همان EAE^۳ در یک لمینیت CFRP با ضحامت‌های مختلف مورد بررسی قرار گرفته و در انتهای کار مقایسه CFRP با یک پلت Stainless steel گردید ۳۰۴ انجام شد [۱۴].

1. Finite element

2. Carbon Fiber Reinforced Polymer

3. Energy absorption efficiency

در سال ۲۰۱۴ سانچز و همکارانش به بررسی ضربات سرعت بالا برروی لمینیتهای شبه استاتیکی کربن-اپوکسی پرداختند. در محدوده سرعتهای ۸۰ الی ۴۹۰ متر بر ثانیه تست آزمایشگاهی انجام گرفت. بدنبال آن دو پارامتر سرعت باقیمانده و ناحیه تخریب جهت برآورد تاثیر انرژی جنبشی پرتابه بر لمینت مورد بررسی قرار گرفت. پس از آن مدلی تحلیلی ایجاد شد که به تعیین مکانیزمهای و پیش‌بینی سرعت پسماند یک پرتابه پرداخته می‌شد. در این تحقیق جذب انرژی توسط لمینتها در طی پروسه برخورد مطالعه می‌شود [۱۵].

در سال ۲۰۱۵ مایکل پاسکوالی و همکارانش به این تحقیق پرداختند که با وجود اینکه کامپوزیتهای تقویت شده دارای استحکام و سفتی خاصی هستند، توانایی کمی در جذب انرژی از خود نشان میدهند. زمانیکه چنین استراکچرهای تحت ضربه با سرعت بالای HVI^1 قرار می‌گیرند تمایل به سوراخ شدن دارند تا اینکه شکستی کامل در استراکچر پدید آید. در این تحقیق فرمولی تحلیلی بمنظور سیمولیشن پاسخ هدف کامپوزیتی نازک، تحت تخریب‌های متفاوت و مکانیزمهای جذب انرژی با سرعتهای بالا ارائه می‌شود در حین ضربه، انرژی جنبشی پرتابه صفحه هدف جذب یا ناپدید می‌شود. همچنین به تشریح اثرات Shear Plugging بر پاسخ اهداف کامپوزیتی با سفتی بالا پرداخته. حدود بالستیک (منحنی پرتابه) سایز تخریب و ضربه در طی فرآیند بالانس انرژی نیز بدست می‌آید [۱۶].

در این مطالعه هدف، مقایسه میزان نفوذ و سرعت پرتابه سرعت بالا در یک کامپوزیت همراه با یک لایه FML با زوایای ۰ و ۹۰ درجه و دو لایه آلومینیوم و برخورد دو نوع پرتابه که جنس آنها فولاد می‌باشد و با شکل فیزیکی متفاوت بهره گرفته شد. با توجه به این که مدل سازی تجربی این مطالعه بسیار وقت گیر و هزینه بردار می‌باشد به همین علت از نرم افزار اجزای محدود آباکوس که توانایی بسیار بالایی در انواع تحلیل‌های غیر خطی را دارا می‌باشد، بهره گرفته شد. در این مطالعه پرتابه دارای سرعت ۴۰۰ و ۵۰۰ متر بر ثانیه به همراه جرم برابر می‌باشد. پس از تغییر سرعت و بررسی‌های خروجی آن سرعت را ثابت نگه داشته و برابر ۴۰۰ متر بر ثانیه در نظر گرفته خواهد شد و جرم پرتابه را تغییر داده و برابر ۱۰ و ۲۰ گرم در نظر گرفته خواهد و سپس تمامی خروجی‌ها بررسی خواهد شد.

۲. تشریح کار عددی

از دو گلوله که جنس آنها فولاد می‌باشد و با شکل فیزیکی متفاوت بهره گرفته شد. همچنین هدف پرتابه فوق یک کامپوزیت سه لایه ای می‌باشد که دو لایه بالایی و پایینی آن از جنس آلومینیوم و لایه میانی از جنس EPOXY با زوایای صفر و ۹۰ درجه می‌باشد که خواص آلومینیوم و اپوکسی در جداول زیر ذکر شده است. در این مطالعه گلوله‌ها دارای سرعت ۴۰۰ و ۵۰۰ متر بر ثانیه به همراه جرم برابر می‌باشد. پس از تغییر سرعت و بررسی‌های خروجی آن سرعت را ثابت نگه داشته و برابر ۴۰۰ متر بر ثانیه در نظر گرفته خواهد شد و جرم پرتابه را تغییر داده و برابر ۱۰ و ۲۰ گرم در نظر گرفته خواهد و سپس تمامی خروجی‌ها بررسی خواهد شد.

جدول ۱- خواص Johnson-cock برای آلومینیوم

D1	D2	D3	D4	D5	Multing temperature (°c)	Transition temperature (°c)	Reference strain (Mpa)
-0.77	1.45	-0.47	0	0	893	293	1

1. High velocity Impact

جدول ۲- خواص الستیک آلمینیوم

Young's modulus (Gpa)	Poisson's ratio	Density (Kg/M ³)
۶۸۹۴۸.....	۰.۳۳	۲۷۱۲.۶

جدول ۳- خواص پلاستیک Johnson-cock آلمینیوم

A	B	Melting temp (°c)	Transition temp (°c)
۳۲۲۴۱.....	۱۱۳۸۰.....	۸۹۳	۲۹۳

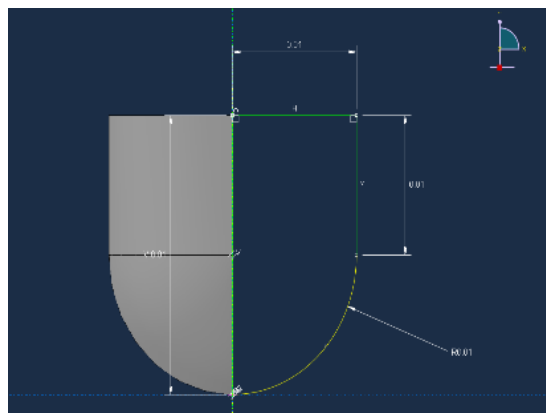
جدول ۴- خواص Hashing صفحه Epoxy

LTS(Gpa)	LCS(Gpa)	TTS(Gpa)	TCS(Gpa)	LSS(Gpa)	TSS(Gpa)
2/1	105	0/24	13/2	0/73	0/65

جدول ۵- جدول ثابت های مهندسی صفحه Epoxy

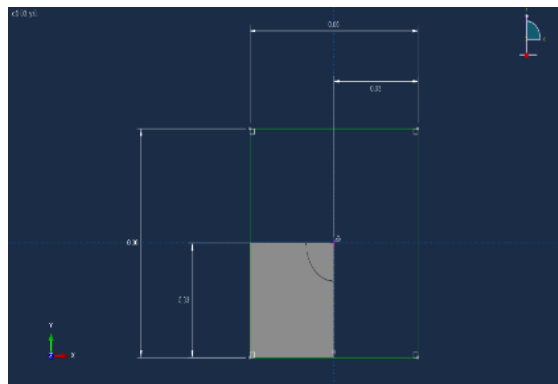
E1(Gpa)	E2(Gpa)	E3(Gpa)	Nu12	Nu13	Nu23	G12(Gpa)	G13(Gpa)	G23(Gpa)
1/32e11	1/03e11	1/03e11	0/25	0/25	0/38	6/5e9	6/5e9	3/2e9

هنده سه پرتا به نوع اول(orbicular) به صورت شکل ۱ می باشد و در هنگام حجم دادن فقط ۹۰ درجه از مدل در نظر گرفته شد.



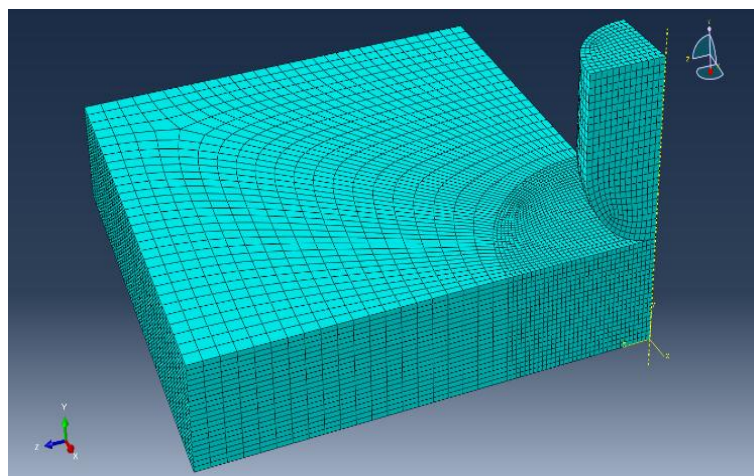
شکل ۱- هندسه پرتا به نوع اول(orbicular)

برای هندسه سه صفحه نیز دقیقا از همین روش استفاده شده تا EPOXY و آلمینیوم مدل شوند.



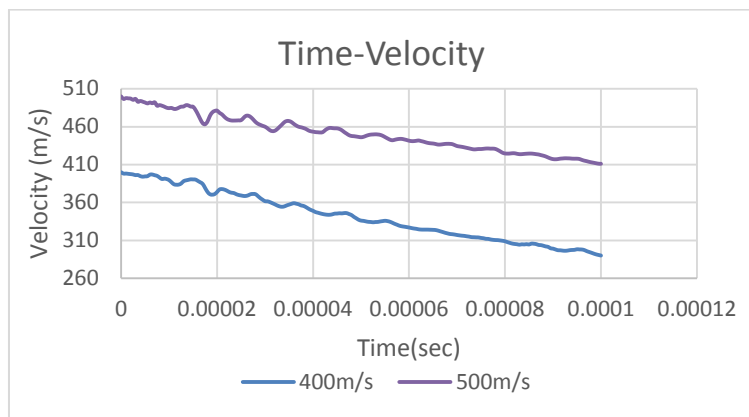
شکل ۲- هندسه صفحه

در بخش مونتاژ نیز مطابق شکل ابتدا آلومینیوم، سپس اپوکسی و مجدد آلومینیوم بر روی هم قرار گرفتند. پرتابه نیز در راستای انتهایی ورق ها جایی که صفحه تقارن موجود می باشد در نظر گرفته شد. برای کاهش زمان حل، سطح رویی پرتابه، مماس با ورق در نظر گرفته گرفته و مش بندی بصورت شکل زیر انجام شد.



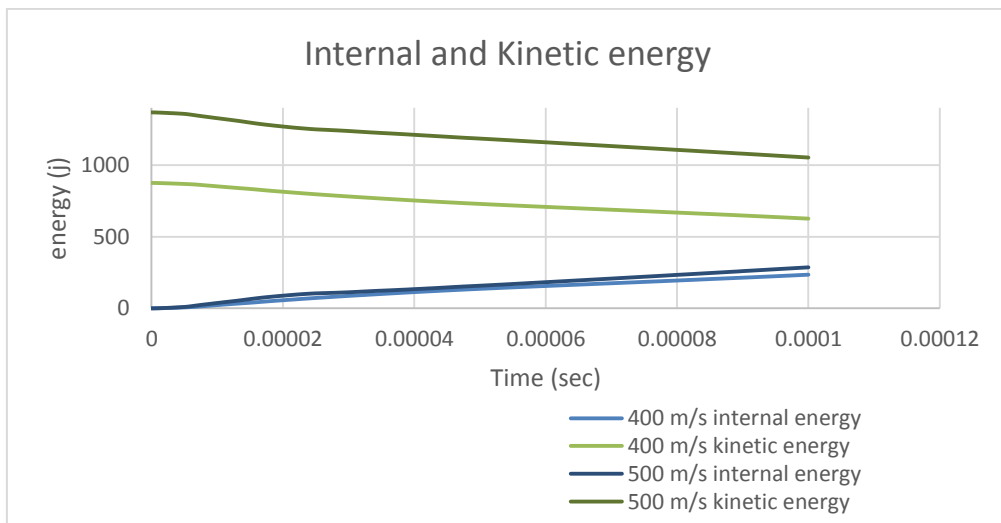
شکل ۳- پرتابه و صفحه FEM پس از مش بندی

بررسی میزان سرعت ۴۰۰ و ۵۰۰ متر بر ثانیه پرتابه به همراه ۱۰ گرم وزن آن نشان می دهد که سرعت کل پرتابه پس از برخورد آن به صفحه با توجه به خاصیت الاستیک آن ها، در ابتدا پرتابه با مقاومت عکس محور حرکتی خود مواجه می شود به همین علت پس از برخورد به آن در بعضی از زمان ها دچار افزایش سرعت و در بعضی از زمانها دچار افت می شود. اما در مجموع سرعت پس از برخورد به صفحات در زمان ۰/۰۰۰۰۱ به ۲۹۰ متر بر ثانیه می رسد و پرتابه همچنان در طول مسیر دچار افت سرعت خواهد شد. اما برای سرعت بیش از ۴۰۰ متر بر ثانیه، سرعت با افت کمتری مواجه می شود و دلیل آن نیز میزان انرژی جنبشی بیشتر و مقاومت صفحات می باشد. همین عامل باعث شده که شیب افت سرعت در حالت ۵۰۰ متر بر ثانیه کمتر از ۴۰۰ متر بر ثانیه باشد. از عوامل دیگر تغییرات سذخت در طول زمان، موج شوک ایجاد شده توسط گلوله بر روی صفحات می باشد. این موج شوک پس از اعمال به صفحات تبدیل به انرژی جنبشی شده و به خود گلوله باز می گردد به همین علت سرعت گلوله به صورت یکنواخت کاهش نداشته است.



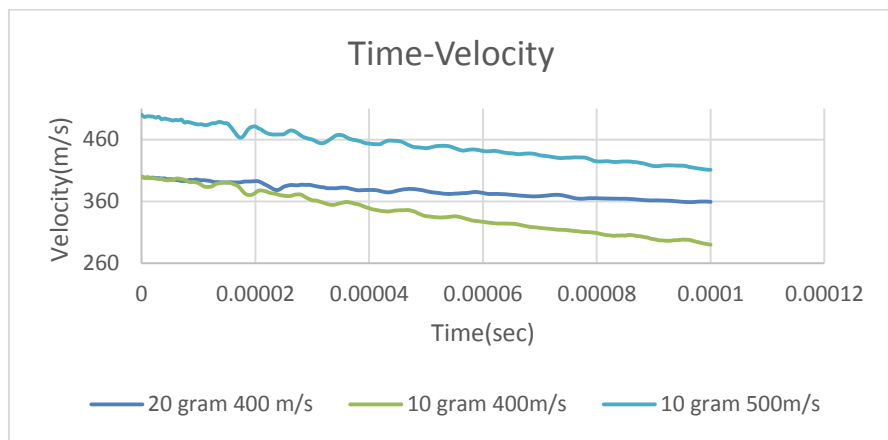
شکل ۴- نمودار انرژی جنبشی در سرعت های ۴۰۰ و ۵۰۰ متر بر ثانیه و جرم ۱۰ گرم

بررسی میزان انرژی جنبشی و درونی نشان می دهد که در لحظه برخورد ، هرچه که میزان انرژی جنبشی پرتابه بیشتر باشد میزان انرژی درونی نیز افزایش می یابد. این عامل باعث می شود که عملکرد کامپوزیت ها در سرعت های بالاتر خودنمایی بیشتری نموده و تاثیرگذاری آن افزایش دهنده. زیرا هرچه که میزان این سرعت بیشتر باشد ، جداش بین سطوح کامپوزیت و موج ایجاد شده می تواند انرژی درونی را افزایش دهد.



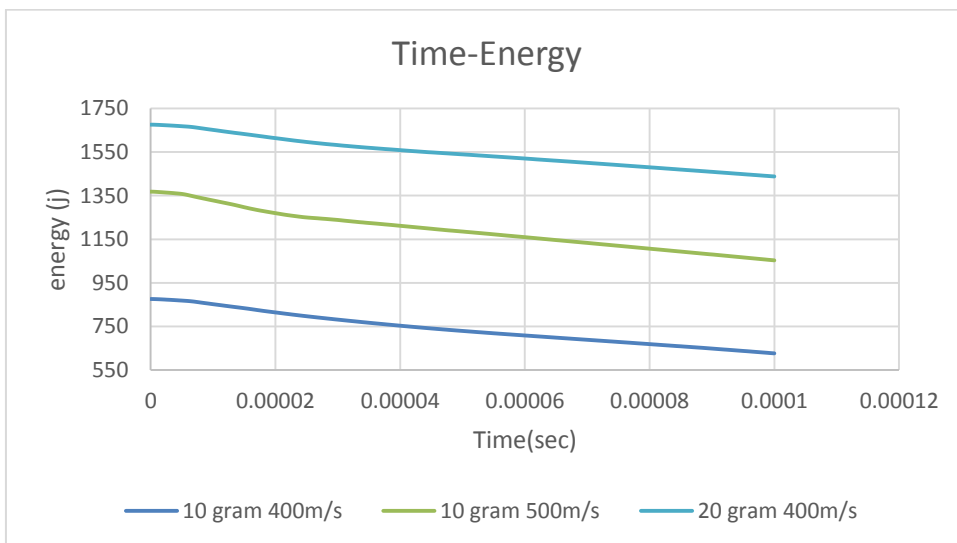
شکل ۵- نمودار انرژی درونی با سرعت ۴۰۰ و ۵۰۰ متر بر ثانیه و جرم ۱۰ گرم

بررسی بر روی میزان جرم پرتابه ها با سرعت ثابت نیز نشان می دهد که هر چه میزان جرم پرتابه ها افزایش یابد ، میزان سرعت آن ها نیز دیرتر کاهش می یابد. به همین علت انرژی منتقل شده از پرتابه به هدف بیشتر می باشد. با توجه به این که هر چه افزایش جرم داشته باشیم میزان تغییرات سرعت در زمان نیز کاهش می یابد و از دلایل آن این است که موج شوک ایجاد شده بر روی هدف تاثیر کمتری بر روی پرتابه به صورت متقابل دارد. همین امر باعث می شود سرعت با شبیه ملایم تری کاهش یابد اما به نسبت خرابی بیشتری را در مقایسه با سرعت ۴۰۰ متر بر ثانیه به وجود خواهد آورد.



شکل ۶- نمودار سرعت بر حسب زمان با سرعت ثابت و جرم متغیر

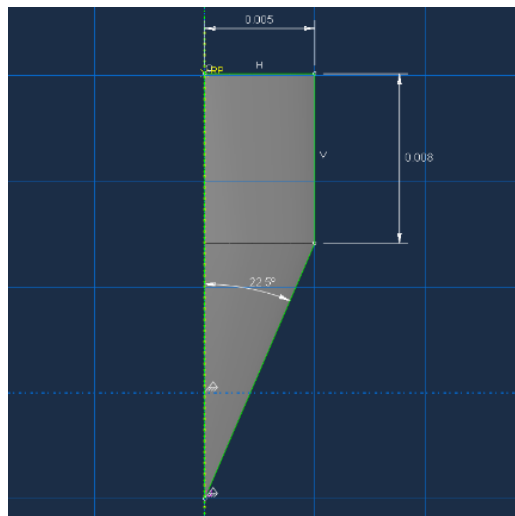
با توجه به افزایش جرم پرتا به، میزان انرژی جنبشی آن نیز افزایش خواهد یافت. ولی به نسبت سرعت 500 m/s بر ثانیه، میزان انرژی جنبشی با شبکه کمتری کاهش می‌یابد. زمان برخورد با جرم بیشتر، الیاف و آلومینیوم از خود مقاومت کمتری به نسبت جرم کمتر نشان می‌دهد اما زمانی که به داخل کاملاً نفوذ کرد، میزان آن به طور یکنواختی کاهش می‌یابد.



شکل ۷- نمودار انرژی بر حسب زمان

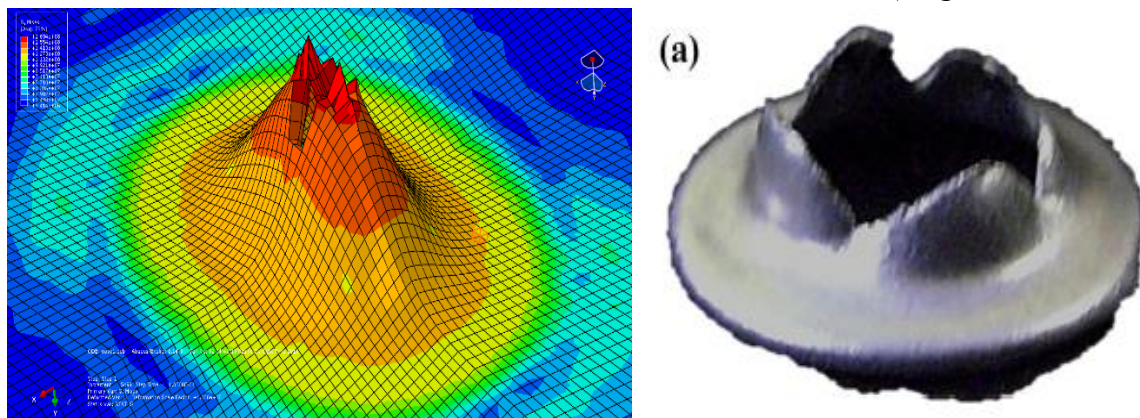
۱.۰۲. پرتا به نوع دوم

نوع بعدی پرتا به ای که در نظر گرفته شد مطابق شکل ۷ بر اساس مطالعه اقبال و همکاران می‌باشد. بر طبق این مطالعه پرتا به ای نوک تیز که شماتیک آن به صورت زیر می‌باشد در نظر گرفته شد. همچنین برای این پرتا به فاصله ای استاندارد نسبت به ورق اصلی در نظر گرفته شد.

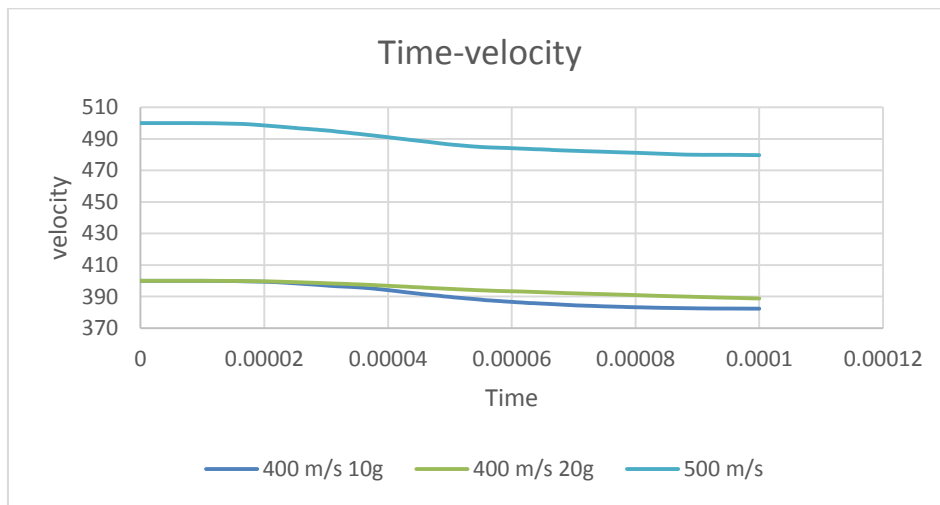


شکل ۷- پرتابه نوع دوم

برای این پرتابه نیز مانند پرتابه نوع قبل سرعت های ۴۰۰ و ۵۰۰ متر بر ثانیه همراه با وزن های ۱۰ و ۲۰ گرم بررسی شد. در این پرتابه با توجه به این که دارای نوک تیزی می باشد میزان تنش نقطه ای اعمالی آن به صورتی می باشد که می تواند در مدت زمان بسیار کوتاه، فلز آلومینیوم و لایه اپوکسی را به کرنش حداکثری در نتیجه به جدایش المانی و آسیب حداکثری برساند. مدل قبلی باعث کاهش سرعت می شدند در این مدل تاثیر کمتری دارند. شکل ۸ نشان دهنده میزان کانتورهای تنش پس از برخورد پرتابه نوع دوم به صفحه می باشد.

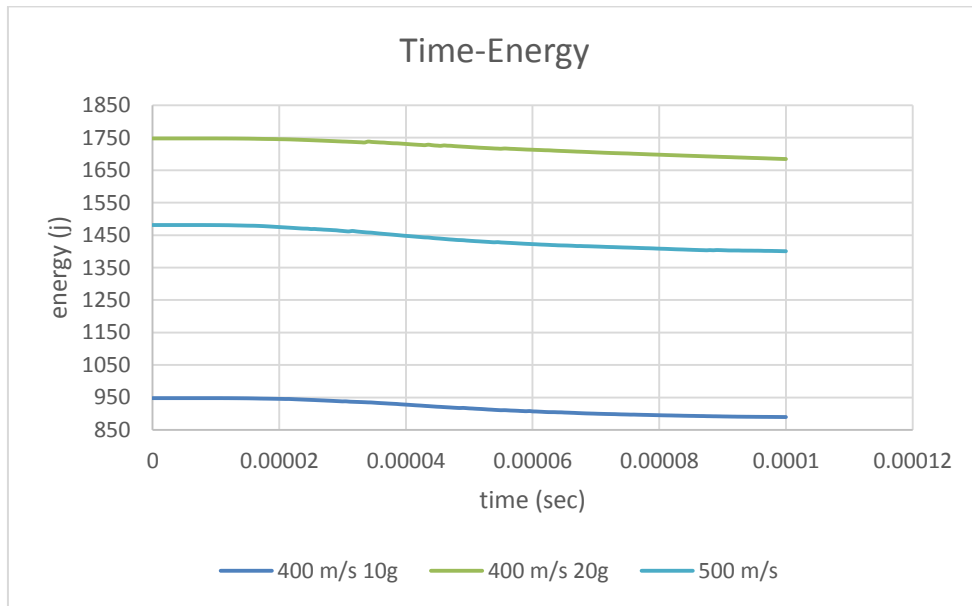


شکل ۸- کانتورهای تنش پس از برخورد پرتابه



شکل ۹- نمودار سرعت-زمان پرتابه دوم

با توجه به شرایطی که سرعت در انتهای زمان ۰۰۰۰۱ دارد پیشینی می‌شود میزان انرژی جنبشی پرتابه نیز با سرعت ملایمی کاهش و میزان انرژی درونی پرتابه نیز با همان سرعت افزایش یابد. همین انتقال انرژی به نفوذ بیشتر پرتابه در داخل آلومینیوم کمک بیشتری می‌کند. با توجه به اینکه یکی از عوامل مقابله ورق آلمینیوم و اپوکسی در مقابل پرتابه به شکل نیم دایره، وجود فایبرهای طولی و عرضی برای اپوکسی می‌باشد که در کل مدل وجود داشتند. اما با توجه به این که این مدل دارای مقطع برخورد کمتری می‌باشد تاثیر این فایبرها بسیار کمتر می‌باشد به همین خاطر نفوذ بیشتری انجام می‌شود.



شکل ۱۰- نمودار انرژی بر حسب زمان برای پرتابه دوم

۳. نتیجه‌گیری

از کلیه خروجی‌هایی که مطرح شد می‌توان به این نتیجه رسید که:

- تغییرات انرژی جنبشی و درونی در دو پرتابه، به مقطع برخورد کننده آن نیز بستگی دارد.
- در مدل با مقطع تیز میزان انرژی جنبشی و درونی وارد به مدل بیشتر از حالت مقطع دایره‌ای می‌باشد و از مهم ترین دلایل آن به حد اکثر رسیدن کرنش در یک ناحیه بسیار کوچک می‌باشد.
- میزان نفوذ پرتابه در حالتی که پرتابه مقطع بسیار کوچکی دارد بیشتر است و از مهم ترین دلایل آن تاثیر کم اپوکسی در این نوع از پرتابه‌ها می‌باشد. در پرتابه‌هایی که مقطع آن بزرگتر می‌باشد اپوکسی مقاومت بیشتری از خود نشان می‌دهد.
- زمانی که پرتابه در حالتی که مقطع دایره‌ای دارد به کامپوزیت برخورد می‌کند، میزان انرژی جذب شده توسط اپوکسی بیشتر از پرتابه در حالت نوک تیز می‌باشد و از دلایل آن مقاطع پرتابه‌ها می‌باشد.
- وزن پرتابه فقط باعث افزایش انرژی جنبشی آن‌ها می‌شود و در میزان نفوذ به نسبت وزن کمتر آن‌ها تغییر محسوسی به وجود نمی‌آورد زیرا لایه رویی آلمینیوم در مرحله اول بیشترین انرژی را جذب می‌کند و تا زمانی که گلوله به راه خود ادامه می‌دهد میزان اصطکاک با همان شرایط سرعت، بیشتر تبدیل به حرارت یا انرژی درونی آن می‌شود ولی در سرعت‌های بالاتر میزان اصطکاک تاثیر گذاری کمتری دارند.

- برخورد پرتابه و عبور آن از لایه های ابتدایی باعث به وجود آمدن موج در تمامی لایه ها می شود. این موج باعث می شود که در فاییرها خرابی و در آلومینیوم باعث تغییر شکل موقتی می شود زیرا چسب در نظر گرفته شده بین اپوکسی و آلومینیوم باعث می شود که هر تغییر اعمالی در سرعت بالا در لایه های پایینی آن نیز تاثیر مستقیم بگذارد.

۴. مراجع

1. G.I. Taylor. (1948). The used of flated-end projectile for determining dynamic yield stress., Proc. Roy. Soc. Lond. A., 194,289-299.
2. J.A.Rodriguez-Martinez, (2013), Experimental and numerical analysis of the martensitic transformation in AISI 304 steel sheets subjected to perforation by conical and hemispherical projectiles. International Journal of Solids and Structures, 2013, 50, 2,339-351.
3. Marian Klasztorny, (2012), Numerical Modelling and Design of ALFC Shield Loaded by 20 mm FSP Fragment.Journal of KONES Powertrain and Transport, Vol. 19, No. 4.2012.
4. M.Grujicic, (2010), Computational investigation of impact energy absorption capability of polyurea coatings via deformation-induced glass transition.Materials Science and Engineering A 527 (2010) 7741–7751.
5. J.Dean, (2009), Energy absorption during projectile perforation of thin steel plates and the kinetic energy of ejected fragments.International Journal of Impact Engineering 36 (2009) 1250–1258
6. Johnson G. R., Cook W. H., (1983)“A Constitutive Model and Data for Metals Subjected to Large Strains, High Strain Rates and High Temperatures”, Seventh International Symposium on Ballistics, Hague.
7. Liang R. and Khan A. S., (1999)“A Critical Review of Experimental Results and Constitutive Models for BCC and FCC Metals over a Wide Range of Strain Rates and Temperatures” International Journal of Plasticity, Vol. 15, pp. 963-980.
8. Meyers M. A., Benson D. J., Vöhringer O., Kad B. K., Xue Q., Fu H. H., (2002)“Constitutive Description of Dynamic Deformation: Physically-Based Mechanisms”, Materials Science and Engineering A, Vol. 322, pp. 194-216.
9. H.khodarahimi, Ali fallahi G.H.liaghat.(2006).Incremental deformation and penetration analysis of deformable projectile into semi-infinite target.
10. N.k.gupta M.A.eqbal. (2007) Effect of projectile nose shape, impact velocity and target thickness on deformation behavior of aluminum plates.
11. J. Lo'pez-Puente, R. Zaera, C. Navarro. (2008) Exprimental and numerical analysis of normal and oblique ballistic impact on thin carbon/epoxy woven laminate
12. J. Lo'pez-Puente , Navarro. (2009). Analitycal modeling of high velocity impact of cylindrical projectiles on carbon/epoxy laminates
13. D. Varas, J.A. Artero-Guerrero, J. Pernas-Sánchez, J. López-Puente, (2012) Analysis of high velocity impacts of steel cylinders on thin carbon/epoxy woven laminates. Department of Continuum Mechanics and Structural Analysis, University Carlos III of Madrid, Avda. De la Universidad, 30, 28911 Leganés, Madrid, Spain.
14. Bing Wang, Jian Xiong, Xiaojun Wang, LiMa, Guo-Qi Zhang, Lin-Zhi Wu, Ji-Cai Feng, (2013). Energy absorption efficiency of carbon fiber reinforced polymer laminates under high velocity impact, Center for Composite Materials, Harbin Institute of Technology, Harbin 150001, PR China
15. J. Pernas-Sánchez, J.A. Artero-Guerrero, D. Varas, J. López-Puente, (2014), Experimental analysis of normal and oblique high velocity impacts On carbon/epoxy tape laminates. Department of Continuum Mechanics and Structural Analysis, University Carlos III of Madrid, Avda

16. Michele Pasquali, Consuelo Terra, Paolo Gaudenzi, (2015).Analytical modelling of high-velocity impacts on thin woven fabricComposite targets, Department of Mechanical and Aerospace Engineering, University of Rome